Տեխնիկական գիտութ. սեշիա

XVI, № 1, 1963

Серия технических наук

ИНЖЕНЕРНАЯ СЕЙСМОЛОГИЯ

Б. К. КАРАПЕТЯН, Г. А. МАРОЯН, Г. С. ТУМАНОВ

ОПЫТ ПРИМЕНЕНИЯ СЕЙСМОМЕТРОВ АИС-2М ПРИ ВЗРЫВАХ

В результате совместной работы группы научных работников и коиструкторов, в составе: А. Г. Назарова, Б. К. Карапетяна, Р. С. Вартаняна (Институт геофизики и инженерной сейсмологии Академии наук Армянской ССР) и В. В. Суходольского, М. В. Забелина (ОКБ Института физики Земли Академии наук СССР) была разработана модернизированная конструкция многомаятникового сейсмометра АИС-2М. Опытный экземпляр сейсмометра был установлен на инженерно-сейсмологической станции ИГИС в Ленинакане [1]. Другие два опытных экземпляра проверялись в полевых условиях при взрывах, осуществляемых на строительном участке.

Сейсмометр АИС-2М имеет 9 вертикальных сферических маятников для записи перемещений в горизонтальной плоскости и 3 горизонтальных поляризованных маятника для записи вертикальных перемещений. Вертикальные маятники имеют периоды свободных колебаний: 0,08: 0,10; 0,15; 0,20; 0,30; 0,40; 0,60; 0,80; 1,20; горизонтальные маятники – 0,08; 0,15; 0,30 сек. Все маятники упруго заделаны в резиновые цилиндрики, играющие одновременно роль пружины и демпфера. Логарифмический декремент затухания маятников находится в пределах 6 = 0,3 - 0,5. Каждому периоду свободных колебаний маятников соответствуют определенные длина маятника и высота резинового цилиндрика. В конструкции вертикальных и горизонтальных маятников предусмотрены, соответственно, струнный подвес или спиральная пружина, обеспечивающие разгрузку резиновых цилиндриков в нулевом положении маятников. Регистрация колебаний вертикальных и горизонтальных маятников осуществляется посредством записи по копоти, покрывающей тонким слоем стеклянные пластины, установленные в металлические кассеты. Запись осуществляется корундовой иглой, присоединенной с помощью пермалоевых пластин к гайке, навинчиванием которой на стержень маятника обеспечивается определенное усилие прижатия иглы к поверхности стекла кассеты. Кассеты вертикальных маятников вставляются в пазы на подвижном столике. При вдвигании кассеты игла прочерчивает по закопченному стеклу одну из осей, параллельную паправляющим кассеты. Вторая, перпендикулярная ей ось получается после окончания регистрации колебательного процесса, путем перемещения подвижного столика с установленными кассетами до момента, когда иглы сойдут с поверхности стекол. Пересечение этих осей дает нулевую точку, необходимую при обработке записей. Аналогично производится подготовка и запись горизонгальными маятниками. Однако приспособления для этой цели значительно проще по конструкции.

Максимальное приведенное сейсмическое ускорение, на основании полученных сейсмометром записей, определяется по формуле:

$$z = \frac{g}{a} \left(\frac{T_0}{T}\right)^2 f = kf ,$$

где f — измеренное на записи максимальное отклонение маятника в cм; a — расстояние от острия иглы до центра вращения упругого маятника в cм;

 $g = 981 \ cm/ce\kappa^2$

 T_0 период свободных колебаний рассматриваемого маятника, шарнирно подвешенного за его центр вращения, в $ce\kappa$;

7 — период свободных колебаний того же маятника при упругой его заделке в резиновую пробку, т. е. в его рабочем состоянии, в сек;

k — постоянный для данного маятника коэффициент, приводимый в наспорте к сейсмометру, в $ce\kappa^{-2}$.

Целью описываемых сейсмометрических наблюдений, в основном, являлась апробация сейсмометров АИС-2М при взрывах. Однако, наряду с этим, оказалось возможным получить и некоторые другие данные, интересные с точки зрения воздействия сейсмовзрывных воли на сооружения и определения безопасного в сейсмическом отношении расстоянии от источника взрывания.

Замеренный нами взрыв был произведен в четырех шурфах глубиной 3,5-3,9 м, при количестве заряда 123 кг. Подробные данные о расположении и расчете зарядов приведены в табл. 1.

Данные о расположении и расчете зарядов

Таблица 1

Н омера ш у рфов	Глубина шурфа Н м	Линия наи- меньшего сопротивле- ния г.и	W ³ M ³	Расстояние между заря- дами <i>а м</i>	k	Вес заря расчет- ный	нда <i>Q ка</i> приня- тый
1	3,5	3,5	42,8	3,8	0,9	25,7	26
2	3,5	3,5	42,8	3,5	0,6	25,7	26
3	3,9	3,9	59,0	3,5	0,6	35,4	36
4	3,8	3,8	54,8	3,5	0,6	32,8	33

Вес заряда вычислялся по формуле $Q=kw^a$,

где Q — вес заряда в кг;

k — удельный расход взрывчатого вещества в $\kappa z \, M^3$;

w — линия наименьшего сопротивления (при одной обнаженной поверхности, равная глубине шурфа — H).

Расчетный коэффициент k, на основании практических данных был принят равным 0,6.

Расчет безопасного с точки зрения сейсмического воздействия расстояния производился по формуле [2]:

$$r_c = k_c + \overline{Q}$$
.

где k_e — постоянный для данного грунта коэффициент, в случае скалы, равный 1,5—3 [3].

Для исследованного участка, сложенного из базальтов, имеющих глыбовую структуру, с прослойками белозема. при $k_c=3$, безопасное с точки зрения сейсмики расстояние получилось равным 15 м. Поэтому примыкавшее к участку здание, находившееся на расстоянии 17 м от места взрыва, было расположено в безопасной в сейсмическом отношении зоне. Схема исследуемого участка с указанием мест шурфов в расположения сейсмометров приведена на рис. 1.

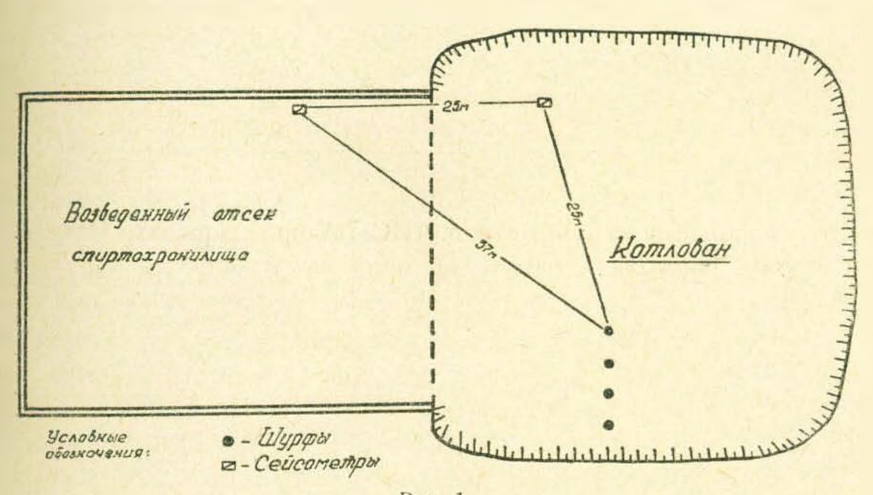


Рис. 1.

Перед производством основного взрыва, в подготовленных для этой цели четырех шурфах были пройдены шпуры и осуществлен взрыв заложенного заряда весом 2,5 кг с целью доведения глубины шурфов до проектной отметки.

Этот взрыв был замерен. Кроме сейсмометра АИС-2М, расположенного на грунте, были установлены приборы для записи колебаний во времени как на грунте, так и в возведенном отсеке здания. Данные сейсмометрических наблюдений полученные при этом взрыве, приведены в первых строках табл. 2. В последующих строках этой же таблицы даны результаты замеров, полученные при основном взрыве. Надо отметить, что произведенная при предварительном и основном взрывах запись сейсмометрами, отличалась четкостью и определенностью, в отношении установления начала отсчета, которое полу-

 Таблица 2

 Результаты замеров, полученные сейсмометрами АИС-2М при взрывах

лебуватата замеров, полученные селемометрами Анте-2лт при вариявах									
Дата взрыва и место установки прибора	Количество <i>ВВ</i> и расстояние от места взрыва_	Вид маят- ников	Т сек	f cm cek 2	см/сек-				
13.VIII. 1962 г. на грунте	2,5 кг (в 10 шпурах) на рас- стояния 25 м от крайнего шурфа	верти- кальные	0,08 0,10 0,15 0,30 0,60	0,10 2840 0,08 1780 0,04 900 0,04 224 0,04 75	284 142 36 9 3				
14.VIII 1962 г. на групте	123 кг (в четырех шурфах) на расстоянии 25 м от край- него шурфа	вертикальные	0,08 0,10 0,15 0,20 0,30 0,40 0,60 0,80 1,20	0,564 2840 0,305 1780 0,226 900 0,250 564 0,200 224 0,122 180 0,107 75 0,800 50 0,086 16	1602 543 203 141 45 22 8 4				
		торизон- тальные	0,08 0,15 0,30	0,230 3345 0,450 965 0,165 265	769 434 44				
14. VII. 1962 г. в здания	123 кг (в четырех шурфах) па расстоянин 37 м от крайне- го шурфа	вертикальные	0,08 0,10 0,15 0,20 0,30 0,40 0,60 0,80 1,20	0,510 2840 0,354 1790 0,300 990 0,170 564 0,155 224 0,090 180 0,138 75 0,072 50 0,070 16	1448 630 270 96 35 16 10 4				
14. VIII.		горизон-	0,08 0,15 0,30	0,280 3345 0,277 965 0,052 265	937 267 14				

чалось во всех случаях, в результате пересечения двух линий (в начале и в конце производства записи). Примеры записи приведены на рис. 2 (зазубрины получены от взрыва в шпурах небольшого количества взрывчатки (7 κ z), осуществленного одновременно с замеренным взрывом).

В результате проведенного исследования можно утверждать, что сейсмометры АИС-2М оправдали свое назначение в качестве приборов для записи сейсмических колебаний при сильных землетрясениях в взрывах. Изученная модель сейсмометра АИС-2М может быть рекомендована, в первую очередь, для стационарной установки на сейсмических станциях. Для производства замеров при взрывах целесообразнее сконструировать портативный вариант сейсмометра АИС-2М.

ограничиваясь при этом меньшим количеством маятников, а также уменьшив вес и размеры прибора.

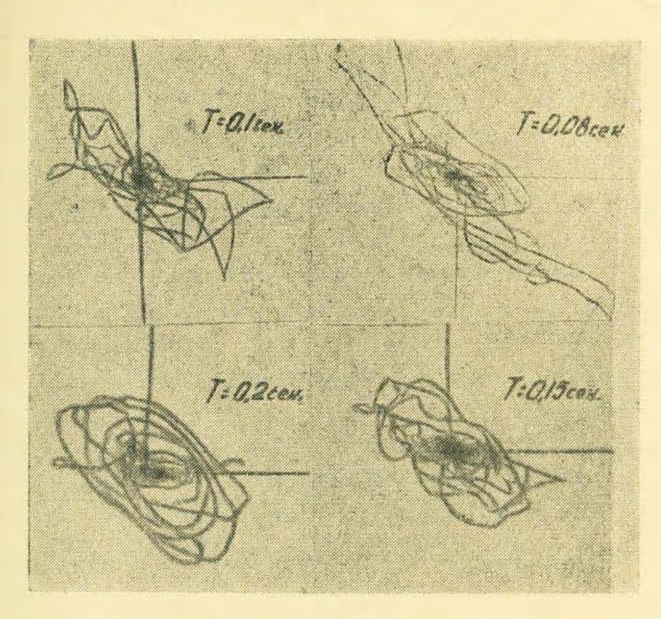
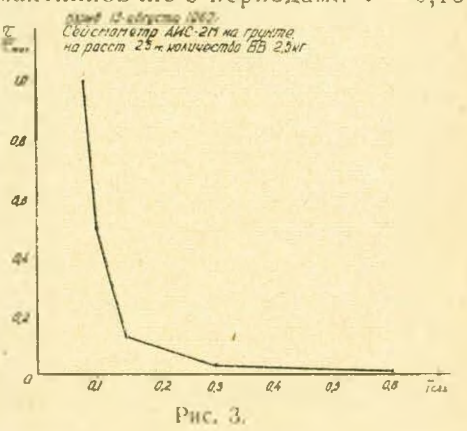


Рис. 2.

Сравнивая результаты замеров, полученные сейсмометрами АИС-2М на грунте и в здании замечаем, что для большинства маятников величины приведенных сейсмических ускорений на грунте памного больше, чем в здании; для маятников же с периодами T=0.10

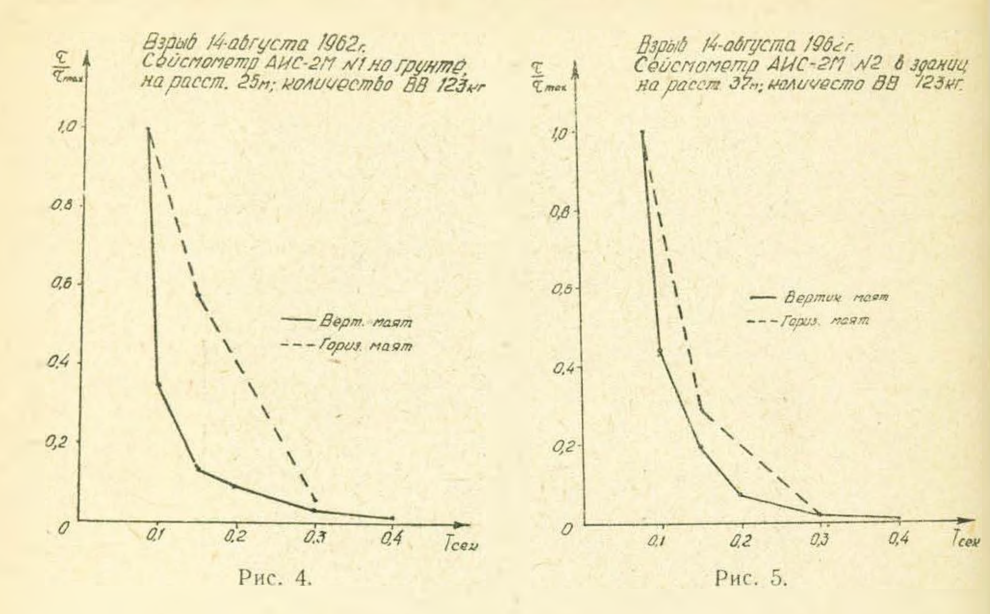
и 0,15 сек, наоборот, приведенные сейсмические ускорения в здании больше, чем на грунте. Последнее является следствием того, что период колебаний здания (T=0,13 сек) близок к этим периодам (T=0,10 и 0,15 сек), в результате чего прочисходит усиление колебаний.

Для маятников с периодами колебаний T=0.08-0.40 сек величины приведенных сейсмических ускорений оказались намного больше, чем для T=0.6-1.2 сек т. е.



получается, что при взрывах в скальных породах величины приведенных сейсмических ускорений для периодов колебаний больше 0, 6 сек, практического значения не имеют и, следовательно, для относительно гибких сооружений взрывы большой опасности представлять не будут.

С целью сравнения спектральных кривых сейсмических ускорений для всех трех случаев построены кривые $\tau(T)$, приведенные к единице (рис. 3, 4 и 5). Характер кривых получился таким же, как



и при предыдущих взрывах, осуществленных в других районах [4], а именно, с характерным резким падением кривой при увеличении периода колебаний.

По полученным с помощью сейсмометров данным величину скорости колебаний частиц грунта можно вычислить по формуле [5].

$$V = \frac{\tau T}{2\pi}$$
.

Так, например, для периода $T=0,15~ce\kappa$, что ближе всего к периоду колебаний здания, приведенное сейсмическое ускорение равно $\tau=270~cM/ce\kappa^2$. Скорость колебаний частиц грунта при этом получается равной $V=6,5~cM/ce\kappa$.

Институт геофизики и инженерной сейсмологии АН Армянской ССР

Поступило 12.X1.1962 г.

Ք. Կ. ԿԱՐԱՊԵՏՑԱՆ, Հ. Հ. ՄԱՐՈՑԱՆ, Գ. Ս. ԹՈՒՄԱՆՈՎ

ՊԱՅԹԵՑՈՒՄԵԵՐԻ ԺԱՄԱՆԱԿ AMC-2M ՄԵՑՍՄՈՄԵՏՐԵՐԻ ԿԻՐԱՌՄԱՆ ՓՈՐՁԸ

Աշխատանքում երևված եր րսև ախտի AHC-5M որևոցողրութերի, ժաշտաքիր տանդարրին տանված անժքումրերի գաղարակ կատանվաց ռասաքուղորևն ը ընտրը դիջոցով ոստանվաց անժքուրընրևն։ ջևվուղ բը ըտր անժ որևողողրութերը արևութերի որևուն ուրանասաս ավքանրին։

Պայթեցումները կատարվել են Երևանի Կոնյակի գործարանի տերի<mark>տո-</mark> րիալում (որը կազմված է բաղալաներից) կառուցվող շենջերից մեկի մոտ։ Դիտումների ժամանակ տեղադրվել են AMC-2M հրկու սելոմոմեարեր՝ մեկր շենջից դուրս, իսկ մյուսը՝ շենջի ներսում, նույնպես դրունտի վրա։

Կատարված դիտումները ցույց են տալիս, որ AMC-2M սելսմոմետթերը վստահորեն կարելի է կիրառել ուժեղ երկրաշարժերը և պայթեցումները ուսումնասիրելու ժամանակ։ Առաջին հերթին վերոհիշլալ սելսմոմետրերի կիրառուխյունը նպատակահարմար է սելսմիկ կայաններում ստացիոնար դիտումների ժամանակ։ Պայթեցումների ուսումնասիրման համար անհրաժեշտ է մշակել AMC-2M սելսմոմետրերի տեղադրման ավելի հարմար և Թեթե տեսակը։

Ստացված տվյալների հիման վրա կառուցվել են սելոմիկ արադացումների սպեկարալ կորերը, որոնք ունեն նույն տեսքը, որը նկատվել էր նախորդ փորձերում (մոտավորապես հիպերբոլիկ կորի տեսք)։ Սեյոմիկ արադացումների արժեքը՝ T=0,08—0,4 վրկ. տեփական տատանումների տեսղություն անեցող ճոճանակների դեպքում ստացվել են անհամեմատ մեծ, քան T=0,6—1,2 վրկ. համար։ Այստեղից բխում է այն եղրակացությունը, որ նկուն կառուցվածքների համար պայթեցումները մեծ վտանդ չպետք է ներկայացնեն։ Գայթեցման հետևանքով չենքում առաջացած տատանման արադության մեծությունը դանվում է թույլատրելի սահմաններում։

ЛИТЕРАТ-УРА

- Карапетин Б. К., Суходольский В. В. Усовершенствование конструкций многомаятниковых сейсмометров для записи сильных и слабых землетрясений. Бюллетень Совета по сейсмологии, № 14, М., 1963.
- Садовский М. А. Простейшие приемы определения сейсмической опасности массовых взрывов. М.-Л., 1946.
- 3. Ляхов Г. М., Покровский Г. И. Взрывные волны в грунтах, М., 1962.
- Карапетян Б. К. Результаты сейсмометрических наблюдений при массовых взрывах, Известия АН Армянской ССР, серия т. н. Х, № 3, 1957.
- 5. Назаров А. Г. Метод инженерного анализа сейсмических сил, Среван, 1959.